

Роль глобального сознания в инструментальных исследованиях тонких полей

В. Шкатов, В. Замша, М. Кринкер, Е. Горохов

Аннотация—Приводится и в первом приближении обсуждается подборка информационных феноменов, связанных с получением сигналов от технических приёмников сверхслабых взаимодействий, в другой терминологии – тонких (торсионных) полей (ТП). В качестве приёмников применялись как специально разработанные для этой цели технические средства, например, торсимеры разной конструкции, так и серийные высокочувствительные измерители, например 3D-магнитометры. В качестве источников ТП-сигнала использовались как “пассивные” объекты разного вида, так и активные излучатели с контролируемой сигнальной структурой, в том числе весьма удалённые от приёмника. Ряд особенностей в генерации и приёме этих сигналов не удаётся объяснить с позиций стандартного электромагнетизма. Заметно усовершенствовать приборную составляющую для приёма и обработки подобных сигналов удалось благодаря широкому применению твердотельных генераторных преобразователей ТП в электромагнитный сигнал и лазерных коммуникаторов с управляемыми параметрами луча. Появилась возможность продвижения в новые области исследования, в частности, в ретроспекцию кинетики прошлых событий, т.е. их ТП-ретроспекцию по статическому фотоизображению, а также в предвидение будущих событий – ТП-перспекцию. Эксперименты такого рода в принципе невозможны без реальной поддержки измерительного комплекса Глобальным Информационным Полем (ГИП), а в другой терминологии – Глобальным Сознанием (ГС). Представляется реальным ситуативное встраивание ГС в программно-аппаратно-операторную часть проводимого эксперимента и его активное сопровождение. При двунаправленном взаимодействии измерительного комплекса с ГИП стали доступны прямые и обратные ретроспекции и перспективы объектов, назначение даты просмотра события, установление временного интервала и шкалы сканирования. Технологические приложения этого направления помогают выявлению структуры прошлых и, особенно, будущих событий. Другой новацией является возможность виртуального сканирования по частоте различных физико-химических объектов и процессов, а также статических символьных и технических изображений. Фактически – это виртуальная ТП-спектрометрия, в которой развёртка по частоте производится через текстовый запрос к информационным возможностям ГИП. Так как в этом случае нет приборных ограничений на частотный диапазон сканирования, то становится доступным измерение виртуальных ТП-спектров

разных объектов в области как инфранизких, так и ультравысоких частот, вплоть до частот ядерного диапазона. Вид спектров, получаемых по такой технологии, выглядит визуально нормальным только в полулогарифмическом представлении оси частот. Это указывает на особые свойства вакуумной среды распространения ТП-сигналов, в частности, на вариабельность скорости этого распространения, а также на прямую связь скорости как с расстоянием между точками вещественного объекта, так и с плотностью и структурой материала, из которого он изготовлен. Учёт необычных свойств вакуумной среды распространения ТП-сигналов может положить начало принципу “волновой инвариантности” взаимодействию объектов и их изображений, а доведение этого направления исследований до уровня технологии позволяет рассчитывать на реализацию ТП-частотного анализа в отношении качества будущей машины или механизма ещё на аванпроектной стадии их разработки. В работе представлены результаты оригинальных приборных экспериментов и наблюдений, в которых, по видимому, участвовало ГИП-ГС. Предложены варианты предварительного обсуждения полученных результатов, а также общего взгляда на концепцию экспериментов в среде ТП.

1. ВВЕДЕНИЕ

К настоящему времени в исследованиях тонких полей (ТП) и тонких взаимодействий (ТВ) накопилось критическое число экспериментальных феноменов, достаточное для того, чтобы сделать целевую выборку для промежуточного анализа. В рамках данной статьи она делается по результатам локальных измерительных экспериментов, выполненных одним из авторов в России за 17 лет, а также некоторым результатам, полученным при проведении односторонних передач кодовых сообщений на расстояния 10–20 тысяч километров в среде ТП-ТВ, в рамках неофициального международного сотрудничества. С участием коллег из США, Австралии и Аргентины проводились и другие нелокальные эксперименты. Авторы полагают, что результаты подобных исследований, полученные за пределами России, могут быть известны заинтересованному читателю из уже существующих обзоров.

Проявления тонких полей и взаимодействий, группируемые в данной статье под общей аббревиатурой ТП-ТВ, примерно соответствуют таковым для спинторсионных полей (СТП) как полей вращения [1].

В связи с этим не исключается мысль о том, что именно вращение на всех уровнях бытия создаёт реальную причинно-следственную цепь в появлении и существовании различных материальных объектов.

Если в материальном мире доступными для изучения являются энергетические поля: гравитационные, электромагнитные и ядерные, то тонкие поля и взаимодействия (ТП-ТВ) должны соответствовать гипотетическому тонкому миру (ТМ). Тонкий мир (тонкий план) описывается пока только в эзотерической литературе, как метафизический, нематериальный и бестелесный уровень существования.

Например, у Николая Рериха [2], “..тонкий мир не есть только наше состояние, он ...представляет ... собой целый мир со всеми возможностями и препятствиями. Явление жизни Тонкого мира недалеко от земного, но в иной плоскости...”. В работе [3] академика РАЕН В.Н.Волченко показана вероятная связь всего сущего с “витальностью” $V=I/E$, где I -информация, а E -энергия. Интересно, что электрическая плазма у В.Н.Волченко имеет максимальную энергию и минимальную информацию, а область тонкого мира, наоборот, минимальную энергию и максимальную информацию. Человек в такой диаграмме позиционируется на краю вещественной области и непосредственно граничит с тонким миром (!).

Обычно считают, что тонкий уровень бытия, если и существует, то никак не поддаётся изучению существующей наукой. Однако это не всегда так, всё упирается в проблему измерений в информационной, практически “безэнергетической” среде ТП-ТВ. Суть её состоит в том, чтобы доступными энергетическими средствами измерить информационное состояние объекта, имеющего крайне малый энергетический эквивалент информации и, к тому же, часто недоступного для прямого контакта с измерителем.

Есть разные точки зрения на возможность проведения корректных измерений в такой среде, в том числе диаметрально противоположные.

Традиционные подходы к измерениям связаны с энергетическим механизмом взаимодействия объекта и измерителя, т.е. двунаправленной передачей информации с использованием механических, тепловых, электромагнитных и других энергетических носителей. Если исходить только из таких представлений, то можно считать нереальным проведение измерений без сопутствующего энергетического транспорта.

Но есть также представления противоположной направленности. Они базируются на механизмах нелокальной квантовой связи между подобными или идентичными объектами: Д.Бом [4], Я.Ааронов [5], К.Прибрам [6], П.Гаряев [7], В.Краснобрыжев [8], а также возможностью работать с векторным потенциалом электромагнитного поля на уровне продольных волн: Т.Ван Ховен [9], С.Нестеров [10], Г.Николаев [11] и др. Указанные современные подходы прорабатываются как со стороны модифицированных методов квантовой механики с введением в неё, так называемых, запутан-

ных состояний, так и со стороны более изощрённого анализа свойств реального электромагнитного поля, в том числе продольного ЭМП (ПРЭМП). К сожалению, экспериментировать в этой области достаточно сложно. Часть предложенных учёными экспериментов так и остались в категории “мысленных”, а результаты других, уже выполненных экспериментов, оспариваются до сих пор.

В предлагаемой работе приведены некоторые “странные” экспериментальные результаты, полученные с использованием эксклюзивной измерительной аппаратуры, с эквивалентной энергетической чувствительностью на уровне от $10E-6K$, $10E-9Tл$, $10E-9B$, предназначенной для измерения информационных полей (тонких, сверхслабых, торсионных, структурно-динамических и т.д. полей – терминология уточняется). Их чувствительность к полю вращения (ПВ) достигает величин порядка $10E-2рад/(с*бит)$, что соответствует примерно $0,1Torsi/bit$, где $Torsi (Ts)$ – предложенная В.Т.Шкатовым в России, но официально не утверждённая системная единица плотности поля вращения (ППВ). Размерность этой единицы совпадает с таковой для угловой скорости, т.е. рад/сек.

Давно замечено, что даже простые локальные эксперименты с непосредственным контактом объекта и измерителя в среде ТП-ТВ (например, плоские символные изображения и торсимер ТСМ-021) не являются изолированными от внешнего информационного поля (ИП). Следовательно, данные операции вносят определённый вклад в это коллективное поле и, в свою очередь, подпитываются от него информацией. Так как агентом взаимного обмена между объектом и измерителем с участием внешнего ИП является информация, с минимальной долей энергетической составляющей, то интенсивность измерительного процесса характеризуется кривой с максимумом, иногда с несколькими максимумами, перемежающимися с глубокими минимумами и даже с переменной знака. Такое поведение измерительной системы в корне отлично от энергетической “аналогии”, где насыщение тракта чаще всего имеет экспоненциальный характер.

Усложнение измерительной части ТП-ТВ тракта посредством установки на измеритель лазерного коммуникатора с длиной луча, по крайней мере, до 100 метров расширяет информационные возможности системы, но и дополнительно “раскрывает” её по отношению к ИП, равно как и по отношению к явному, либо неявному, оператору, участвующему в процессе измерения. Иногда доходит до того, что ИП находит неточности в определении задачи, поставленной оператором, и самостоятельно исправляет их.

Глубокое взаимное проникновение ИП в измерительную систему и наоборот превращает процесс конкретного измерения в весьма продуктивный “разговор” оператора с ИП по поводу выбранного объекта, через посредство системы-транслятора, в состав которого входит собственно измеритель, обслуживающий его компьютер, а также ближайшее предметное окруже-

ние измерительного комплекса. Такой режим позволяет исследовать не только текущие, но и прошлые, а также некоторые грядущие события, по установкам, сделанным оператором. Очень полезны для этого фото- и телепосредники, как на твёрдых носителях, так и в современном электронном виде. Методика и аппаратные средства такого уровня позволяют мониторить пространственные и временные особенности, по их электронным отображениям, на расстояниях в десятки тысяч километров на Земле и, по крайней мере, миллиарды километров в Космосе.

В основной части данной статьи приведена подборка результатов измерительных экспериментов, демонстрирующих изложенные выше соображения, показаны использованные при этом нестандартные и стандартные средства измерения в среде ТП-ТВ и описаны особенности использованных при этом нестандартных методик. В обсуждениях результатов не скрываются существующие трудности и проблемные моменты.

II. АППАРАТУРА ДЛЯ ИССЛЕДОВАНИЯ ТП-ОБЪЕКТОВ

Ниже представлены фотографии использованных в работе измерителей ТП (торсимеров), от первого TCM-021 до PZ-3D-M1. Первый торсимер был разработан в 1999 году и долго использовался на уровне экспериментального образца, а последний реализован в 2014 году и сейчас испытывается в экспериментах.



Рис. 1. Торсимер TCM-021 с торсионным затвором УТЗ-01.

В качестве чувствительного к ТП элемента в TCM-021 (рис. 1) используется подмагниченная, но не насыщенная магнитная среда. Она является компонентом индуктивности в составе феррозонда и вместе с фиксированной ёмкостью определяет частоту измерительного генератора F1. Эта частота сравнивается с опорной частотой F2 другого генератора, построенного на RC-мультивибраторе. Оба генератора стартуют одновременно и к “временному” финишу приходят с разбросом по числу колебаний. Специальная схема-финишёр определяет порядок финиша генераторов, а

схема индикации отображает результат этого финиша на ЖКИ-дисплее в виде величины и знака. В последующем была проведена модернизация прибора, в частности, организована односторонняя связь с компьютером [12].



Рис. 2. Торсимер TCM-030 с лазерным прицелом.

Торсимер TCM-030 (рис. 2) выполнен по ортогонально-дифференциальной схеме, с двумя ёмкостными датчиками ТП на высокопроницаемой керамике. Для уменьшения взаимовлияния двух RC-генераторов их настройки разнесены на 500 Гц, а счётчики обслуживания имеют разный коэффициент деления. Всё согласовано таким образом, чтобы к схеме-финишёру приход сигналов был одновременным при “нулевом” разбалансе на двух ТП-входах. Прибор оборудован одним лазерным коммуникатором, двумя встроенными управляемыми торсионными затворами УТЗ-2 и односторонней передачей результата на компьютер, либо самописец [13].



Рис. 3. Торсимер SADAF-08LC.

Чувствительным элементом торсимера SADAF-08LC (рис. 3) служит малогабаритная лампа накаливания $9V \times 15 \text{ mA}$. Её нить является плечом моста сопротивлений, при этом ток питания этой нити составляет 1 mA . Выходная диагональ моста включена на вход дифференциального усилителя, выходное напряжение которого управляет частотой LC-генератора. Далее всё обрабатывается так же, как в TCM-030. Прибор снабжён двумя поворотными лазерами, корпуса которых «сопряжены» с чувствительным элементом. Имеется внутренняя память на 2048 байт и параллельный порт для связи с компьютером [14].



Рис. 4. Торсимер OPEOL-01M1.

Торсимер OPEOL-01M1 имеет термостатированный датчик на микросхеме CD4011A, входящей в состав автогенератора на частоте около 5 МГц. Корпус микросхемы входит в состав оптической лазерной схемы, содержащей внешний лазерный элемент, многозеркальный внутренний перископ и выходной оптический узел, позволяющий управлять настройкой лазерного пятна на поверхности объекта. Исходная частота смещается вниз путём тройного преобразования с использованием опорных кварцевых гетеродинов. Итоговая выходная частота может варьироваться в диапазоне 01-20 кГц в зависимости от ТП-ситуации в окрестности засвечиваемого пятна на объекте [15].

Торсимер GRG-01 (рис. 5, базовая конструкция) – лазерный однолучевой дифференциальный измеритель торсионного контраста (ТК) разных объектов. Имеет два встроенных лазерных элемента, датчик ТП на микросхеме CD4011A, встроенное аккумуляторное питание, USB-порт, программное управление. Может работать в нескольких режимах по частоте выборки и объёму сеанса, имеется режим временного мониторинга без ограничения длительности сеанса. Один из встроенных лазеров является опорным, его луч остаётся внутри корпуса [16].



Рис. 5. Торсимер GRG-01.



Рис. 6. Торсимер GRG-01M1.

Приборное расширение GRG-01M1 (рис. 6) содержит дополнительный блок цифровой шаговой развёртки лазерного луча по кругу. Это позволяет измерять периферию полевого объекта, не трогая центр. Для эксплуатации этого варианта торсимера рабочая программа управления и регистрации усложнена.

На рис. 6 видна компоновка комплекса при работе с горизонтальным фотоизображением объекта, управляющий компьютер не показан. Для реализации такой компоновки использовался фото-штатив Rekam

RT-M42. Для работы с вертикальными фото- и телеизображениями блок прибора поворачивается в вертикальной плоскости на 90 градусов.



Рис. 7. Торсиммер PZ-3D-M1.

Торсиммер PZ-3D-M1 содержит трёхосевой XYZ-блок пьезодатчиков, чувствительный к тонким полям, а также встроенный микроконтроллер, USB-порт, неуправляемый лазерный зонд-коммуникатор, сменный оптический блок для регулирования диаметра зонда в плоскости изображения (рис. 7). Управление прибором смешанное: кнопками на верхней панели корпуса и от программы, загружаемой в микроконтроллер из ПК.

В разработке прибора и всех программ управления активное участие принимал инженер-системотехник П.В.Шкатов.

Измеритель PZ-3D-M1 устанавливается на малом фото-штативе TARGUS Tg-50tr. В целом, он подтвердил и даже частично превзошёл ожидания разработчиков. Прибор тестировался на детектировании медленных поворотов физического объекта с учётом его вращения вместе с Землёй, на задачах по определению положения объекта за преградой (по его изображению), а также в диагностике опасных и взрывчатых веществ в таре и за преградой [17].

Достаточно успешно использовался прибор и при удалённом контроле из Томска скрытых повреждений продуктопровода в Чили по изображению его участков [18].

III. МЕТОДИЧЕСКИЕ УКАЗАНИЯ К ИССЛЕДОВАНИЯМ ТП-ОБЪЕКТОВ

В разделе 1 была сформулирована главная цель статьи: продемонстрировать, что даже относительно

простые эксперименты, с прямым контактом объекта и измерителя в среде ТП-ТВ, не являются вполне изолированными от внешнего информационного поля (ИП). Эта информационная открытость в случае разнесения компонентов системы в пространстве, использования фото-посредников объекта, а также проведения работ со смещением времён регистрации и самого процесса, только увеличивается.

В разделе 2 обозначен набор измерителей, использованных для этого. В этих приборах применялись встроенные преобразователи ТП/ЭМ на разных физических принципах и разной конструкции: магнитные, диэлектрические, резистивные и полупроводниковые на основе КМОП-структуры. В некоторых измерителях использовались управляемые торсионные затворы УТЗ-01 и УТЗ-02, а также одинарные, либо двойные лазерные коммуникаторы.

Задачи, которые удалось решить с помощью перечисленных в разделе 2 средств, тоже существенно различаются. Поэтому нереально предлагать какую-то унитарную методику проведения ТП-измерений.

Можно классифицировать комплексную методическую часть по следующим группам.

А. Измерения с прямым контактом измерителя и объекта.

В. Мониторинги удалённых объектов с использованием фото- и теле-посредников.

С. Обустройство ТП-связей на большие расстояния с разными посредниками.

Д. Дистанционный контроль процессов в прошлом, настоящем и будущем, в том числе с реверсом временного контроля.

Е. Дистанционная диагностика повреждений трубопроводов по их изображениям.

А. Измерения с прямым контактом измерителя и объекта.

Данная группа полностью отрабатывалась на измерителе ТСМ-021. Кроме рабочего объекта, устанавливаемого в центре измерительной площадки прибора, использовался объект сравнения (эталон) такой же формы, из такого же материала и в такой же ориентации относительно горизонта. Длительность измерения объекта в каждой отдельной позиции составляла 2 минуты.

Число измерений эталона превышала таковое для рабочего образца на единицу, т.е. измерения начинались с эталона и им же заканчивались. Обычно минимально достаточным считалось 3 измерения для рабочего образца и 4 для эталона.

При 2 минутах на единичное измерение и 1 минуте на манипуляции, связанные с перестановкой образец/эталон и обратно по схеме: эталон-пауза-образец-пауза-эталон-пауза-образец-пауза-эталон продолжительность измерения одного образца занимает не менее 20 минут.

Обработка измерений заключается в нахождении средних величин для образца и эталона и вычитании второго из первого. Получается, что все измерения относительные.

Установка управляемого торсионного затвора УТЗ-01 на ТСМ-021 позволила отказаться от физических эталонов (в этом случае эталонирование производилось по ТП УТЗ-01). К тому же использование УТЗ-01 обеспечивает очистку измерителя от фантомных наслоений, связанных с предыдущими измерениями, т.е. проявляется как действие всасывающего информационного аттрактора. Сток фантомных наслоений производится, в конечном счёте, в питающую сеть, т.е. исчезает надолго.

Ручная методика и аппаратура без автоматической регистрации была оправдана лишь в самом начале работ такого рода, в дальнейшем прибор был оснащён АЦП и передачей данных в ПК.

В. Мониторинги удалённых объектов с использованием фото- и теле-посредников

Эта группа обрабатывалась на приборах ТСМ-030, SADAF-08LC и AUREOLE-01.

Контакт измерителя с удалённым объектом осуществлялся через его фото- или теле-изображение, которое с помощью оптики проектировалось на соответствующий вход конкретного прибора, при этом допускалось использование электронного изображения этого объекта на отдельном мониторе.

ТСМ-030 допускает регистрацию только на перьевой самописец постоянного тока; SADAF-08LC в первые годы эксплуатации позволял записывать данные только во внутреннюю цифровую память, с ручным пошаговым выводом информации в режиме чтения; AUREOLE-01-2 выдаёт на выходе частоту, которую можно измерять цифровым мультиметром (например, UT60G) с выходом на ПК. При этом используется программа “UNI-T uni-trend group limited”, прилагаемая изготовителем к этому мультиметру.

В случае использования в этих приборах лазерного зонда-коммуникатора пятно лазера нацеливается в нужную область изображения объекта, органами управления каждого из приборов (а также в программе пользователя для AUREOLE-01-2) делаются соответствующие установочные действия, далее включается регистрация с нужным темпом выборки и продолжительностью сеанса.

Надо отметить, что у авторов и сейчас нет полной уверенности в том, что выделяемая пятном лазера локализация взаимодействия поддерживается в течение всего сеанса. Вероятнее всего зона взаимодействия с некоторой скоростью расползается по поверхности и объёму объекта, даже при работе с фото-посредником. И в этом тоже можно увидеть феномен влияния внешнего информационного поля, понимающего цель эксперимента и его приборно-методические ограничения.

С. Обустройство ТП-связей на большие расстояния с разными посредниками

Группа обрабатывалась в основном с измерителем AUREOLE-01-2.

AUREOLE-01-2 прибор однолучевой и одноканальный, он может вести длительную регистрацию ТП-процессов, есть пример записи фоновой торсионной обстановки длительностью 13 суток с темпом одна точка в 2 минуты, при этом в общий массив данных монтируется текущее время: час, минуты и секунды из таймера ПК. Недостаток прибора, как и всегда, есть продолжение его достоинств - в отсутствие конкретно поставленной задачи он постепенно (через месяц-два) начинает чувствовать буквально всю Землю: землетрясения, наводнения, достаточно крупные вооружённые конфликты, групповые мероприятия, значимые личностные события и т.п.

Но, уйдя в информационном плане далеко от места установки, этот прибор перестаёт воспринимать местные помехи из разряда: электросварка, перфорация отверстий в бетоне, запуск и остановку двигателей автомобилей и т.п.

Поэтому в методике использования этого уникального измерителя целесообразно грамотно выбирать посредника, а лучше систему из 2-х, 3-х разнородных со-посредников, например, фото и поясняющий текст, либо два разных фото и текст.

В отношении задач по организации сверхдальних ТП-коммуникаций данный прибор работал в функции приёмника. А в роли ТП-передатчика могут выступать разные управляемые динамические структуры с реверсивным вращением: механическим, электрическим, магнитным, оптическим (авторы В.Замша, М.Кринкер).

В сеансах ТП-связи, как правило, использовался слепой метод по времени начала и конца передачи, а также по направлению использованных вращений. Основная проблема в использовании физического вращения – неопределённость с его осью, ведь она, по идее, должна устанавливаться в определённое положение относительно какой-либо опорной оси, например, оси собственного вращения Земли.

Д. Дистанционный контроль процессов в прошлом, настоящем и будущем, в том числе с реверсом временного контроля

Эта группа обрабатывалась только с универсальным измерителем GRG-01M1.

В программе управления прибором устанавливается режим “мониторинг-луч”, а также частота выборки данных из измерительной части комплекса и период усреднения этих выборок. Время окончания работы открыто для оператора. Объект исследования – процесс.

Луч-коммуникатор устанавливается на нужной детали фотографии-посредника, если по умолчанию, то в центре изображения.

Кроме использования фото посредника, в окне программы пишется текст задания с условиями работы. Ранее, в других экспериментах с текстами, был установлен такой примечательный факт, что ИП, оказывается, “умеет читать” правильно написанные предложения. Если условия эксперимента, предложенные оператором, не корректны, либо что-то в объекте изменяется уже в процессе эксперимента, а оператор этого не знает, то ИП использует свои возможности и самостоятельно корректирует режим взаимодействия с прибором (!).

Далее активируется кнопка “Пуск” в программе управления, а затем, по окончании определённого времени сеанса, данные сохраняются и обрабатываются, например, в Excel.

Позиция 4 интересна тем, что позволяет работать по установленному временному интервалу в настоящем, прошлом и будущем реальных событий. Глубокое использование возможностей ИП позволяет вести измерения даже с “реверсом” времени по отношению к реальному процессу.

Е. Дистанционная диагностика поврежденных трубопроводов по их изображениям

Данный пункт в методическом плане во многом совпадает с п.4. Используется измеритель GRG-01M1 в функции мониторинга объекта по изображению удалённого участка трубопровода и неподвижном лазерном зонде. Виртуальная развёртка участка трубы на местности производится с помощью ИП по текстовому посреднику, в котором оговариваются условия начала, конца такой развёртки и её шаг, а также направление сканирования. Форма представления результата график, либо диаграмма.

IV. РЕЗУЛЬТАТЫ

На рис. 8 представлен спектр психофизического состояния 200 живых и около 100 неживых людей по их фотографиям. Спектр построен в 1999 году по данным, полученным с помощью измерителя TCM-021. Фактически получилось, что основные состояния живых людей группируются правее уровня белого, а мёртвых – левее уровня чёрного, но есть зона странных состояний в диапазоне от 0 до -5 %. Механизм появления таких состояний пока не ясен. Очевидно, что при контактных измерениях сборка фотография объекта – торсиммер TCM-021 пронизывается вертикальной составляющей информационного поля, при этом ТП-особенности объекта переписываются в измеритель. Работа по спектру психофизических состояний заняла несколько месяцев не автоматизированного труда. Прибор ориентировался датчиком на Север, попадание прямого солнечного света на измерительную площадку исключалось [19].

На рис. 9 показана реакция торсиммера ОРЕОЛ-01M1 в bmp-формате на землетрясение 06.04.09 в Италии. На этот раз никакого фото-посредника не было, фоновая регистрация велась автоматически в течение нескольких суток. Привязка к событию делалась уже в

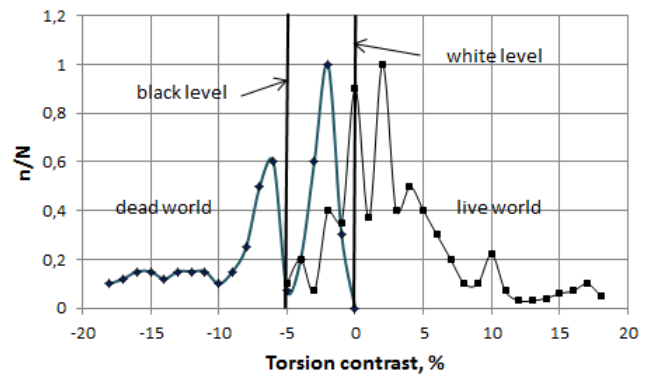


Рис. 8. Спектр психофизического состояния живых и неживых людей. По горизонтали торсионный контраст (ТК) в процентах, по вертикали – нормировка на максимум n/N . Видна структура в правой части.

день события. На графике разрушения группируются в последней четверти регистрации, а в первой её четверти отражено нечто характерное, что можно назвать инфо-предупреждением от ИП. По вертикали графика частота в герцах, по горизонтали номер точки [20].

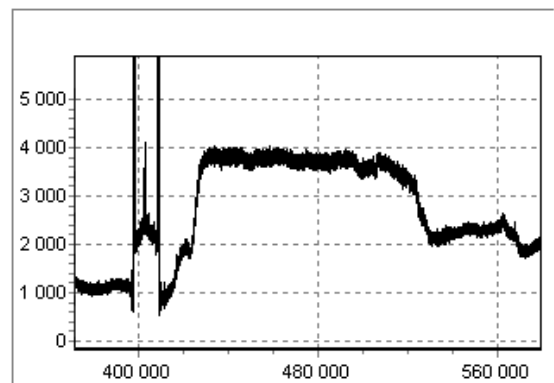


Рис. 9. График информационного предупреждения о грядущих разрушениях в Италии 06.04.09.

На рис. 10 воспроизводится первая ТП-регистрация разрушающегося объекта в космосе – КС “МИР” – по её изображению в российской газете “Аргументы и факты”, время на рисунке московское 08:52. В качестве средства регистрации использовался торсиммер TCM-030 с выходом на перьевой самописец [21].

На рис. 11 и 12 представлены bmp- и текстовая записи катастрофического землетрясения в Японии 11.03.11. Характерно, что данная двухвидовая регистрация выполнялась на следующие сутки после события, оператор узнал о нём только утром 12.03.11. Хорошо, что комплект аппаратуры был прогрет и готов к работе, оставалось только включить регистрацию. Сразу же пошёл сигнал огромной амплитуды, причём основные пики записи совпали по времени с таковыми для самого события (с учётом сдвига регистрации вперёд на сутки), рис. 12 с текстовой записью. На графике bmp-регистрации, рис. 11, по вертикали – частота

в Гц, а по горизонтали номер точки [22].

Это крайне удачное ретроспективное наблюдение показало, что в ИП автоматически записывается все события, независимо от воли и желания людей, а также операторов ТП-аппаратуры. А при наличии соответствующей техники и желания оператора нужная запись может быть восстановлена и прочитана. Интересно, что в ИП, по-видимому, отсутствуют какие-либо собственные предпочтения в направлении течения времени, что даёт возможность считывания записанной информации в каком угодно направлении, вплоть до обратного хода по времени. Ниже такая возможность будет продемонстрирована.

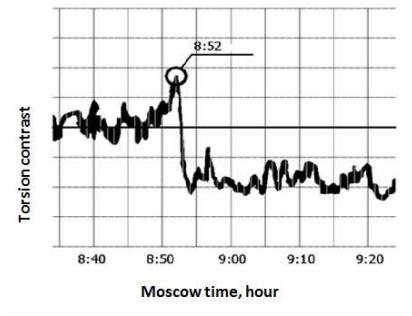


Рис. 10. График изменения торсионного контраста ТК при разрушении космической станции “МИР”.

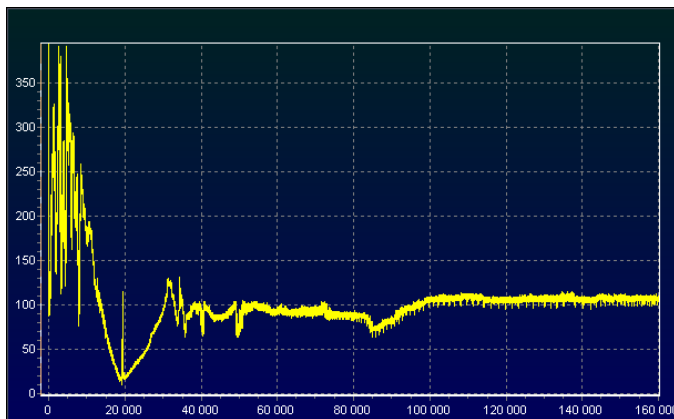


Рис. 11. График ТП-отклика торсимера “ОРЕОЛ-001” на землетрясение в Японии 11.03.11 (следующие сутки).

На рис. 13 приводится регистрация ТП-сигнала в Томске (торсимерия В.Шкатова) от передатчика в Перте (В.Замша) 22.05.11, а на рис. 14 отклик на эту посылку в Буэнос-Айресе (3D-магнитометрия Е.Горохова). Сигнал, записанный в Томске прибором ОРЕОЛ-01М1, имеет явный сверхнормативный характер по амплитуде, к тому же, к нему присоединился виртуальный повтор половинной длительности [23]. То же вмешательство ИП? Следует отметить, что в этом случае модуляция вращения “R” и “L” от передатчика принимается в месте приёма не вполне отчётливо, плохо просматривается и пауза.

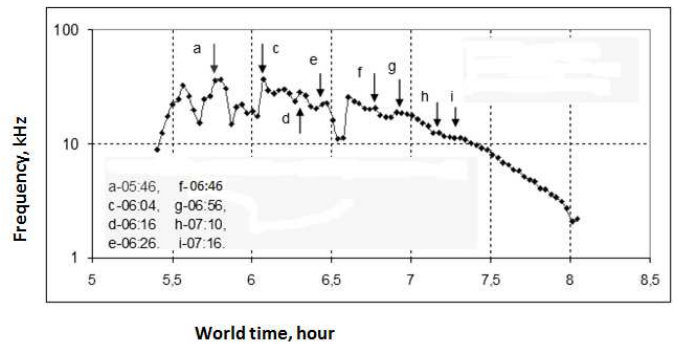


Рис. 12. График ТП-отклика на событие в Японии 11.03.11 из текстового файла, ось времени реальная, ось величины логарифмическая. Стрелки над кривой показывают наиболее значимые моменты в событии с привязкой по времени.

На записи из Буэнос-Айреса, при заметно меньшем соотношении сигнал/шум, также просматривается сигнальная информация в выбранном временном окне.

Длительность посылки передатчиком каждого элемента 0,5 часа, структура посылки содержала три элемента: вращение правое – пауза – вращение левое. Из рис. 14 видно, что элементы сигнала выделяются достаточно слабо, как по факту, так и по элементному составу [24].

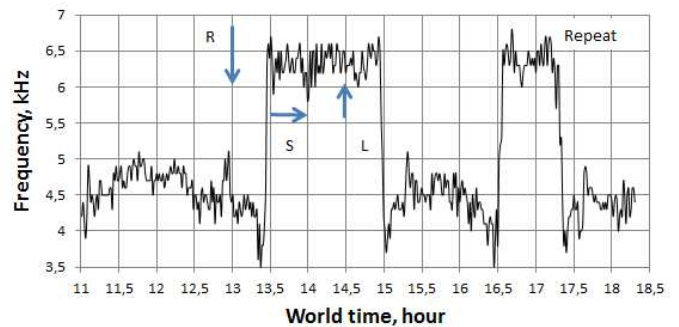


Рис. 13. График приёма в Томске ТП-сигнала из Перта (Австралия). Стрелка вниз – включение правовинтового сигнала R, горизонтальная стрелка – остановка вращения S, стрелка вверх – левовинтовое вращение L. Repeat – укороченный вдвое повтор из ИП.

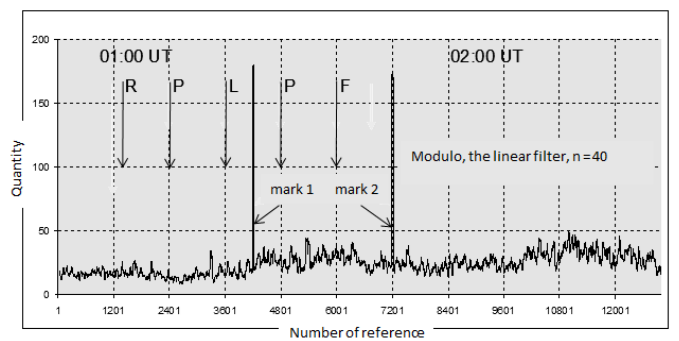


Рис. 14. График приёма в Буэнос-Айресе того же ТП-сигнала из Перта (Австралия). Датчик магнитный.

На графике рис. 14 видны два стробирующих импульса, выполняющих служебную функцию. Между ними выделяется некая горка, полученная операцией математической обработки, близкой к выпрямлению знакопеременной функции. По горизонтальной оси графика номер отсчёта, по вертикали - величина отклонения магнитометра. В правой части графика видна похожая горка, возможно, это повтор, аналогичный повтору на рис. 13.

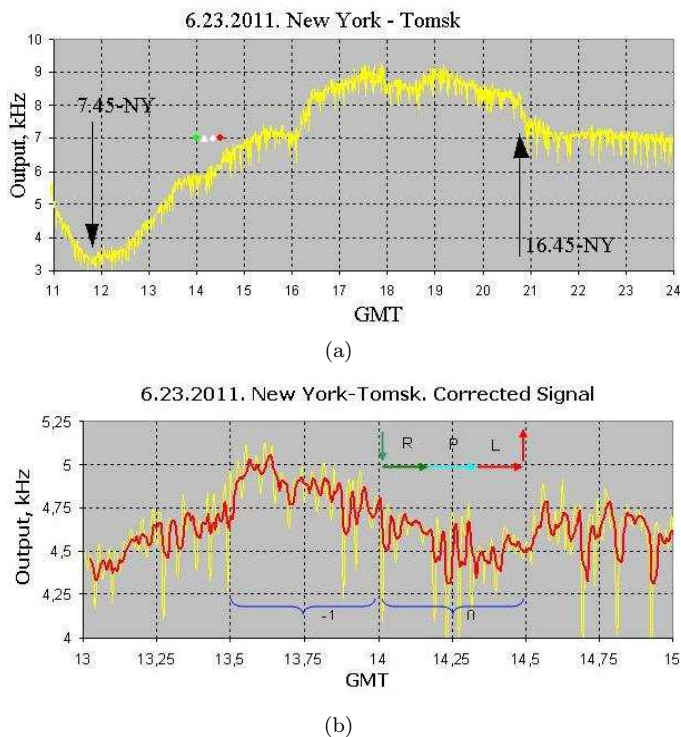


Рис. 15. (а) Приём в Томске ТП-посылки из Нью-Йорка. Сама посылка отмечена цветными стрелками. (б) Вырезка части сигнала связи Нью-Йорк-Томск. Использовано цифровое сглаживание исходного сигнала стандартными средствами Excel (исх. кривая - жёлтый цвет, сглаженная - красный).

На рис. 15 показана запись одностороннего сеанса ТП - связи между Нью-Йорком и Томском, 23.06.11 [25]. Передатчик полей вращения в Нью-Йорке мог генерировать поле, как по часовой стрелке, так и против неё, с частотой 3 МГц и напряжённостью до 400 В/м. Электронное изображение конструкции передатчика, скомбинированное с лазерной технологией В.Т.Шкатова, было использовано как коммуникационная привязка.

В соответствии с обоюдным протоколом сеанса связи, передатчик полей вращения должен был быть включен в Нью-Йорке 23 июня 2011 года, в 14:00 по Гринвичу. По протоколу последовательность передачи была следующей: 14:00 - 14:20 - вращение поля по часовой стрелке, 14:10 - 14:20 - пауза, 14:20 - 14:30 - вращение поля против часовой стрелки.

Протокол был частично нарушен оператором М.С.Кринкером, который, видимо, движимый беспокойством о техническом состоянии передатчика, включил его на короткое время (около 3 мин) где-то в

промежутке между 13:30-13:50, чтобы увидеть эллипс вращения на экране контрольного осциллографа, и затем выключил передатчик. Далее всё делалось в соответствии с общепринятым протоколом эксперимента. В.Т.Шкатов отправил запись результата сеанса связи М.С.Кринкеру только через несколько дней. Анализ этой записи М.С.Кринкером выявил серьёзный пример нелинейных событий в этом сеансе, а именно:

1. Перегиб записи в 11:45 по Гринвичу (7:45 Н-Й) в точности соответствует приходу оператора М.Кринкера в лабораторию, когда передатчик ещё не был включен.

2. Второй перегиб и всплеск в 13:30 соответствует вышеупомянутому преждевременному включению передатчика. Интервал между 14:00-14:30 по Гринвичу, отмеченный зелеными и красными точками на Рис. 15, в точности соответствует протоколу передачи. Рис. 15а показывает детальный анализ выходного сигнала передатчика, выполненный В.Т. Шкатовым. Он явно показывает всплеск в 13:30 по Гринвичу (преждевременное включение передатчика). Также заметно то, что после паузы Р активация левостороннего вращения приводит к появлению новой зоны на записи.

3. В 14:30 по Гринвичу передатчик был выключен, но на рис. 15 мы видим, что уход экспериментатора из помещения в 20:45 по Гринвичу (16:45 Н-Й) также провоцирует новую зону на записи.

Отмеченные выше, неконтролируемые оператором, “расширения” программы эксперимента по ТП-связи Нью-Йорк – Томск наводят на размышления.

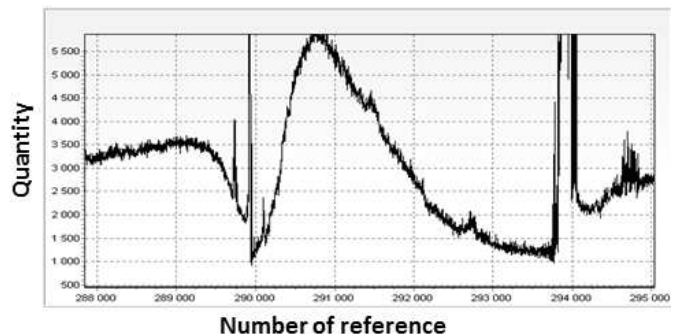


Рис. 16. График информационного предвестника ядерного взрыва 23.05.09 в Северной Корее.

На рис. 16 приведена кривая bmp-регистрации предвестника второго подземного ядерного взрыва, сделанного 23.05.09 в Северной Корее (первый производился 09.10.06) [26]. Сам же взрыв состоялся примерно через час и вызвал перегрузку ТП-аппаратуры на продолжительное время (несколько часов). По горизонтальной оси графика - условное точечное время с шагом 0,5сек, по вертикали - частота выходного сигнала измерителя в герцах. В работе использовался ТП-приёмник В.Шкатова “ОРЕОЛ-01М1”. Видна характерная колоколообразная форма предвестника, временные границы которого обозначены на графике униполярными

всплесками вблизи значений 290000 и 293750 шкалы точечного времени. Это соответствует длительности предвестника по основанию примерно 0,52 часа.

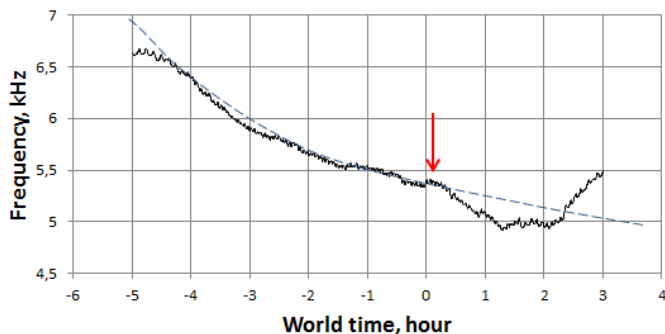


Рис. 17. График реакции торсимера ОРЕОЛ-01М1 на "вчерашний" взрыв ТЗ 06.01.16 в КНДР.

На рис. 17 показан один из графиков ТП-регистрации "временного фантома" испытания первого термоядерного заряда (Н-бомбы) 06.01.16 в КНДР. Регистрация производилась синхронно тремя устройствами: в России, ФРГ и США на следующие сутки после самого взрыва [27]. Момент инициации подрыва показан красной стрелкой. Медленный спад частоты в интервале -5 ... 0 часов, вероятно, соответствует регистрации подготовительного периода.

Здесь, как и в случае с землетрясением в Японии 11.03.11, несмотря на задержку регистрации ровно на сутки внутрисуточный (часы и минуты) расклад события сохраняется. Более того, по данным из ФРГ, регистрация процесса возможна и через 2 суток [27].

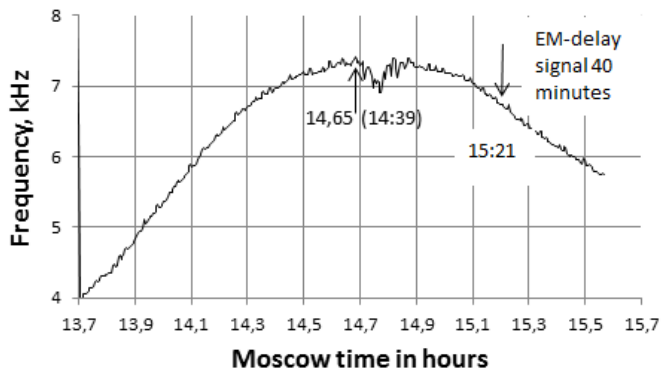


Рис. 18. График реакции торсимера ОРЕОЛ-01М1 на "вчерашнее" столкновение КС "Розетта" с кометой 67Р.

На рис. 18 воспроизведена "односуточная" ретроспектива столкновения космической станции "Розетта", разработанной в Европейском космическом агентстве совместно с NASA, с кометой 67Р Чурюмова-Герасименко 30.09.16. Работа в России велась с помощью торсимера ОРЕОЛ-01М1 и электронного изображения самой станции. Надо отметить, что реализуемый в данном эксперименте торсионный контакт с ИП по "вчерашнему"

событию является практически безынерционным, так как запрашиваемая информация считывается с распределённого континуума. В то время как для операторов NASA сигнал ЭМ-канала по реальному для них событию вынужден преодолевать расстояние 720 млн. км и задерживаться на 40 минут при штатной скорости распространения электромагнитной волны 3Е8 м/сек.

На графике рис. 18 столкновение в ТП-ТВ среде размыто в небольшую временную область (несколько минут) на вершине "колокола" сближения объектов [28].

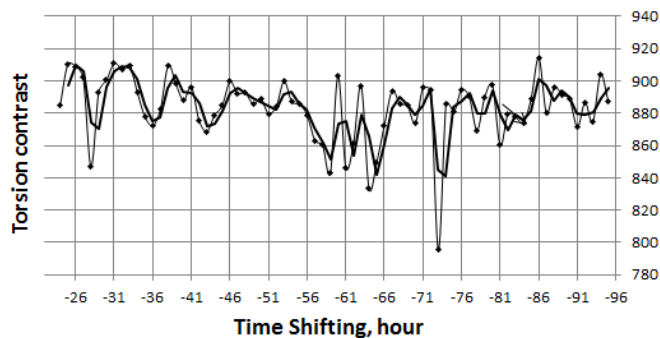


Рис. 19. График реакции торсимера GRG-01М1 на теракт в аэропорту Стамбула. Ретроспекция обратная во времени, с суточным смещением начала мониторинга в прошлое. Работа проводилась 01.07.16, при этом 1 минута мониторинга соответствовала 1 часу событий.

На рис. 19 приводится временная ретроспекция теракта в аэропорту Стамбула по его изображению в Интернете в интервале времени 23:59мск 30.06.16 по 00:00мск 28.06.16, т.е. со сдвигом виртуальной развёртки на сутки назад и реверсом временной развёртки. В работе использовался ориентирующий текст с формулировкой задачи [29].

На графике рис. 19 разрушительные взрывы приходятся на интервал -73...-74 часа (точная привязка по событию 22:18мск 28.06.16), но их сопровождает странный триплет в интервале 58-63 часа (направление развёртки по времени обратное!).

В окрестности момента времени -86 часов имеем странный сигнал противоположной полярности, который можно истолковать как предупреждение ИП.

Аппаратура GRG-01М1, 4 приборных измерения в секунду, усреднение - 200 отсчётов на точку. Масштаб мониторинга 1 час/1мин*1точку. Первичная кривая сглаживалась линейным фильтром, при $n=2$.

На рис. 20 впервые демонстрируется возможность виртуального ТП-мониторинга объекта на перспективу, т.е. перспекция объекта. В данном случае таким объектом сканирования являлась женщина, готовящаяся к родам своего первенца. Разумеется, в перинатальном центре врачи всегда называют свои сроки, что-то ощущает сама женщина. Было бы интересно провести независимое от стандартной медицины исследование с привлечением возможностей ИП и соответствующей аппаратуры. Был выбран подходящий объект и разработана программа исследования.

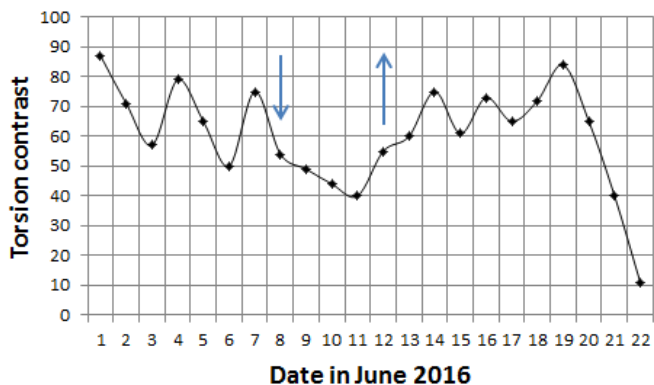


Рис. 20. Перспекция будущего процесса (деторождение) на 23 сутки вперёд по времени. Стадия рождения ограничена синими стрелками.

Аппаратура виртуального мониторинга ближайшего будущего для объекта: измеритель GRG-01M1 с изображением этого объекта до беременности, темп 4 измерения в секунду, усреднение 200 отсчётов на точку. Масштаб сканирования: 1 сутки реальной жизни в 1 минуте сканирования. Вся работа продолжалась 22 минуты, что соответствовало 22 суткам вперёд по времени. Использовался впечатанный в окно программы ориентирующий текст с постановкой задачи [30].

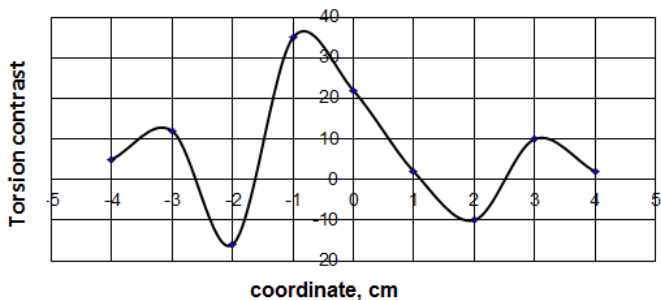


Рис. 21. Динамика отклика от сканирования простого физического объекта лазерным лучом торсимера SADAF-08LC.

На рис. 21 показана интересная трансформация временного процесса сканирования изображения объекта (вогнуто-выпуклой стеклянной линзы) лазерным зондом торсимера SADAF-08LC в пространственно-полевую структуру. Сканирование картинка слева направо. Получается, что устанавливая статическую форму, мы изменяем в какой-то степени ход времени в окрестности этой формы и, наоборот, вводя в систему измерительный (временной) процесс, мы образуем новую “квазиформу” [31].

На рис. 22 показан результат виртуального сканирования по частоте нарисованного устройства, в данном случае однокаскадного транзисторного усилителя НЧ в двух редакциях:

1. Комплект элементов полный (синяя кривая).
2. Отсутствует разделительный конденсатор на входе (красная кривая).

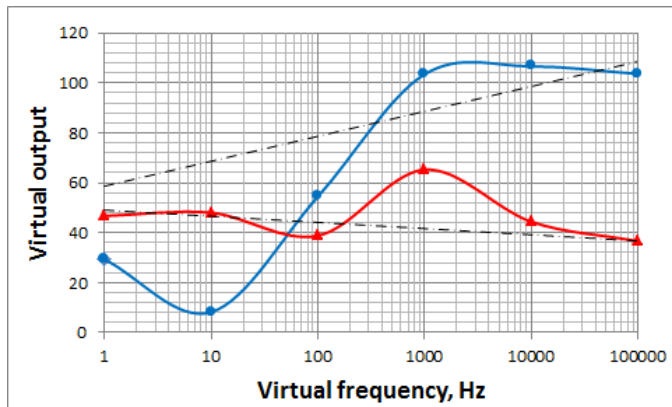
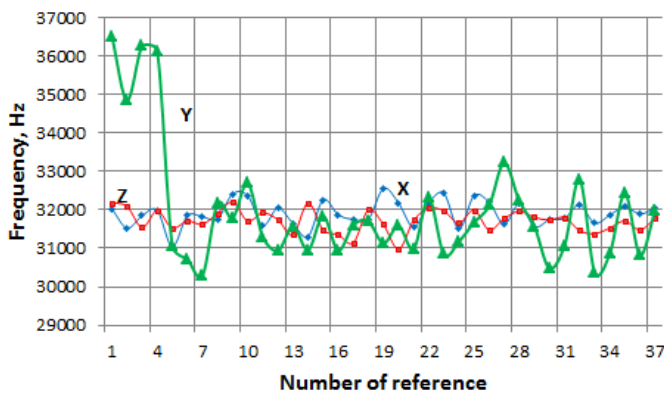
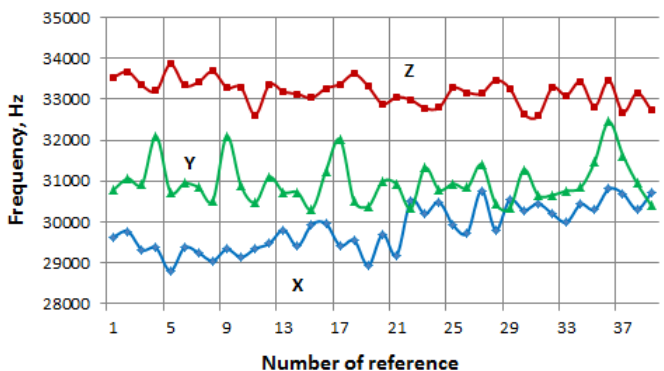


Рис. 22. Виртуальное сканирование чертежа электронной схемы торсимером GRG-01M1. Комплект полный и нарушенный.

Хорошо видно, что при нарушении состава нарисованной схемы “частотная” характеристика “устройства” резко ухудшается [32].



(a)



(b)

Рис. 23. (a) Результат виртуального сканирования торсимером PZ-3D-M1 дефектного участка №5 трубопровода в Чили. (b) Развёртка виртуального сканирования торсимером PZ-3DM1 участка №3, не содержащего серьёзных повреждений.

На кривых 3-х осевого мониторинга (рис. 23) участка 5 в Чили (Fig.24), полученных с помощью измерителя PZ-3D-M1, виден резкий выброс по каналу Y в начале сканирования. Как показало полевое обследование, в

этом участке действительно обнаружены значимые повреждения [33]. На рис 23а для сравнения представлен график участка №3 без значимых дефектов. Источник тот же.



Рис. 24. Место расположения трубопровода в Чили.

V. ОБСУЖДЕНИЕ

Изложение выбранных результатов в п.4 ориентировано по нескольким направлениям, с общей тенденцией усиления вклада информационного поля (ИП) в действия оператора и функционирование аппаратуры.

Оказалось, что только в одном классе событий, а именно в классе землетрясений и ядерных взрывов, ТП-наблюдения велись без использования фото посредника. Это регистрация землетрясений в Италии 06.04.09, рис. 9, в Японии 11.03.11, рис. 11 и 12, а также регистрация предвестника ядерного взрыва в КНДР 23.05.09. Все эти события, несомненно, имеют планетарный уровень. Использовалась аппаратура ОРЕОЛ-01М1.

Остальные работы велись с применением фото посредников. На основе результатов, полученных с торсимером ТСМ-021, смонтирован гибридный спектр психофизического состояния живых и неживых людей, рис. 8, а также зарегистрирована реакция торсимера ТСМ-030 на разрушение конструкции КС “МИР”, рис. 10. Это были вдохновляющие результаты.

Наблюдалась также реакция торсимера ОРЕОЛ-01М1 на искусственное возбуждение среды ТП-ТВ на значительных расстояниях, например, на дистанциях: Австралия-Россия, Австралия-Аргентина и Америка-Россия (ТП-связь).

Получены интересные запаздывающие и опережающие реакции торсимеров ОРЕОЛ-01М1 и GRG-01М1 на яркие события: подрыв термоядерного заряда 06.01.16 в КНДР, рис. 17, столкновение КС “Розетта” с кометой 67Р Чурюмова-Герасименко 30.09.16, рис. 18, виртуальный ТП-мониторинг объекта на перспективу, т.е. перспекция объекта, рис. 20. Последний результат просто потряс первого автора.

Успешно продемонстрирована технология воспроизведения прошедших событий, т.е. ретроспекция процесса, на примере теракта в аэропорту Стамбула 28.06.16,

рис. 19. В некоторых случаях такое обратное, реверсное во времени, направление мониторинга позволяет очистить ТП-регистрацию от сопутствующих помех. Наряду с другими технологиями такой подход может помочь расследованию тяжких событий.

И, наконец, удалось проверить идею об использовании информационных возможностей ИП в наблюдении полевой структуры физических объектов, рис. 21, а также предположение о возможности амплитудно-частотного анализа нарисованных чертежей, рис. 22. Такую операцию удобно проводить на стадии предварительного проектирования технических устройств и комплексов.

Близка к этому разрабатываемая сейчас технология поиска существующих и перспективных повреждений продуктопроводов по карте местности, рис. 23 и 24.

Из перечисленных результатов видно, что информационные фото-посредники применялись в 5 из 6 направлений. Исключение составляют крупные события планетарного масштаба, например, естественные землетрясения магнитудой от 5 ед. по шкале Рихтера, а также искусственные землетрясения, как производные подземных ядерных испытаний.

Из анализа приведённой в статье выборки результатов вряд ли можно установить верхнюю границу возможностей Информационного Поля (Глобального Сознания). Для реализации реального двунаправленного взаимодействия между ИП и измерительным комплексом нужна грамотная постановка задачи, высокочувствительная к тонким полям аппаратура и вдумчивый оператор, которому ИП, в каком-то смысле, “доверяет”.

VI. ВЫВОДЫ

1. Приведена расширенная целевая подборка результатов ТП-экспериментов и наблюдений, выполненных как в России, так и с участием зарубежных коллег, учитывающая хронологию их получения, постановку задач, равно как и особенности генерирующей и регистрирующей ТП-аппаратуры.

2. Поставленная цель – продемонстрировать открытость ТП-измерительных средств разных типов по отношению к глобальному Информационному Полю (Глобальному Сознанию) - в первом приближении достигнута. Эта открытость представляется авторам всеобъемлющей.

3. Продемонстрирована разная степень взаимопроникновения общего Информационного Поля (Глобального Сознания) и локальных полей регистрирующих устройств вместе с полем-сознанием оператора эксперимента. Уровень контакта между первым и вторыми может быть неопределённо высоким.

СПИСОК ЛИТЕРАТУРЫ

- [1] Акимов А. Эвристическое обсуждение проблемы поиска новых дальностей. EGS-концепция. Препринт МНТЦ ВЕНТ №7А // М.,1991, с.63.
- [2] О Н.Рерихе. Электронный ресурс <https://books.google.ru/books?isbn=586091234X>.

- [3] Волченко В. Энергоинформационные и философские аспекты биомедицинских технологий. Тезисы международного научного конгресса по биоэлектрографии. Наука, информация, сознание. 2006, Санкт-Петербург, стр.101-102.
- [4] Бом Д. *Квантовая теория*. Наука, М., 1965. 729 с.
- [5] Об эффекте Ааронова-Бома. http://nuclphys.sinp.msu.ru/pm/pm08_22.htm.
- [6] Прибрам К. *Языки мозга: Экспериментальные парадоксы и принципы нейропсихологии*. Перевод с английского под ред. А.Р.Лурия. Изд-во 'Прогресс', М., 1975. 464 с. <http://www.e-reading.club/book.php?book=133041>.
- [7] Гаряев П. и др. 'Теоретические модели волновой генетики и воспроизведение волнового иммунитета в эксперименте'. В сб. трудов международной научно-практической конференции 'Основы физических взаимодействий', Киев, 2008, стр.23-107.
- [8] Краснобрыжев В. Спинозные поля в мозговой деятельности. В сб. трудов международной научно-практической конференции 'Основы физических взаимодействий', Киев, 2008, стр. 257-287.
- [9] Крик Э. 'Теория энтропийной логики Теодора Ван Ховена и расширяющиеся горизонты сознания'. Перевод с английского А.М.Новиковой, под редакцией проф.С.П.Нестерова.
- [10] Нестеров С. Психозифика как новое направление современной науки // Физические основы информационного взаимодействия / М., Сб. науч. трудов. ИПП, изд-во 'Перспект', т.2, 2006. - Под ред. Нестерова В.И., стр.3-30.
- [11] Николаев Г. Современная электродинамика и причины её парадоксальности. Перспективы построения непротиворечивой электродинамики. Монография, МВ и ССО РСФСР, Томский Политехнический Институт им С.М.Кирова. Томск, 1996, 143 стр. .
- [12] Шкатов В. Торсиметрия как новое направление в диагностике торсионных полей. Торсиметр ТСМ-021. *ЖФНН*, 1(3):45-52, 2013.
- [13] Шкатов В. К оценке реальных возможностей торсиметра ТСМ-030. // Биоинформатика. Биоинформационные и энергоинформационные технологии (БИЭТ-2002). Доклады 4-го Международного конгресса. - Т.1, ч.2. /Под ред. П.И.Госькова. - Барнаул: Изд-во АлтГТУ. - 2002. -с.46-53.
- [14] Шкатов В. SADAФ-08LC как анализатор структурно-динамических неоднородностей лазерно-компьютерный. Частное сообщение НПЦ 'Кроубар', 2000 г.
- [15] Шкатов В. Современные возможности тонко-полевой диагностики объектов живой и неживой природы. //Торсионные поля и информационные взаимодействия. Доклады на международной научной конференции, Хоста-Сочи, 25-29 августа 2009г./ Под ред. В.Жигалова, Москва, 2009, с.108-123.
- [16] Шкатов В. Универсальный торсиметр GRG-01. Частное сообщение лаборатории GRG, 2010г.
- [17] Шкатов В. Калибровочные работы с трёхосным прибором PZ-3D-M1. *ЖФНН*, 3(7):58-66, 2015.
- [18] Горохов Е. Сборный текст 'О подходах к дистанционной диагностике трубопроводов'. Файл 'Remote study Linea 2' от Е.Горохова, 15.02.16.
- [19] Шкатов В. Измерение торсионного контраста плоского изображения. //Доклады 2-го Международного конгресса.- Т.2.- Барнаул: Изд-во АлтГТУ, 1999.- с.15-22.
- [20] Шкатов В. Современные возможности тонко-полевой диагностики объектов живой и неживой природы. //Торсионные поля и информационные взаимодействия. Доклады на международной научной конференции, Хоста-Сочи, 25-29 августа 2009г./ Под ред. В.Жигалова, Москва, 2009, с.122.
- [21] Шкатов В. К оценке реальных возможностей торсиметра ТСМ-030. // Биоинформатика. Биоинформационные и энергоинформационные технологии (БИЭТ-2002). Доклады 4-го Международного конгресса. - Т.1, ч.2. /Под ред. П.И.Госькова. - Барнаул: Изд-во АлтГТУ. - 2002. -с.32.
- [22] Gorokhov E, Zamsha V, Krinker M, Shkatov V. About a probably influence of external consciousness (EC) on the structure of signals, received by the technical receivers of thin fields. В сб. докладов на 15-ой Международной конференции 'Новое в уфологии и биоэнергоинформатике', Москва, 2011г, с.33.
- [23] Gorokhov E, Zamsha V, Krinker M, Shkatov V. About a probably influence of external consciousness (EC) on the structure of signals, received by the technical receivers of thin fields. В сб. докладов на 15-ой Международной конференции 'Новое в уфологии и биоэнергоинформатике', Москва, 2011г, с.34.
- [24] Gorokhov E, Zamsha V, Krinker M, Shkatov V. About a probably influence of external consciousness (EC) on the structure of signals, received by the technical receivers of thin fields. В сб. докладов на 15-ой Международной конференции 'Новое в уфологии и биоэнергоинформатике', Москва, 2011г, с.35.
- [25] Шкатов В. Запись ТП-сигнала из Нью-Йорка 23.06.11 в Томске. Электронный архив В.Шкатова.
- [26] Gorokhov E, Zamsha V, Krinker M, Shkatov V. About a probably influence of external consciousness (EC) on the structure of signals, received by the technical receivers of thin fields. В сб. докладов на 15-ой Международной конференции 'Новое в уфологии и биоэнергоинформатике', Москва, 2011г, с.36.
- [27] Шкатов В., Кернбах С, Кринкер М. Отчёт об эксперименте с временным фантомом испытания термоядерного устройства. *ЖФНН*, 3(10):54-61, 2015.
- [28] Шкатов В. Ретроспективная регистрация ТП-сигнала столкновения космической станции 'Розетта' с кометой 67P Чурюмова - Герасименко 30.09.16. Частное сообщение GRG от 02.10.16.
- [29] Шкатов В. Временная ретроспекция теракта в аэропорту Стамбула по его изображению в Интернете в интервале времени 23:59мск 30.06.16 по 00:00мск 28.06.16. Частное сообщение GRG в группу Ф2 от 03.07.16.
- [30] Шкатов В. Первая временная перспекция процесса деторождения. Частное сообщение GRG в группу Ф2 от 23.06.16.
- [31] Шкатов В. Современные возможности тонко-полевой диагностики объектов живой и неживой природы. //Торсионные поля и информационные взаимодействия. Доклады на международной научной конференции, Хоста-Сочи, 25-29 августа 2009г./ Под ред. В.Жигалова, Москва, 2009, с.119.
- [32] Шкатов В. Первое виртуальное частотное сканирование нарисованной радиотехнической схемы УНЧ в нормальном исполнении и с отклонением от нормы 21.10.16. Частное сообщение GRG от 21.10.16.
- [33] Горохов Е., Шкатов В. Продолжение ТП-исследований 'рельефа' местности по её спутниковому изображению. Переписка Е.Горохова и В.Шкатова в рамках совместной работы от 06.02.16.